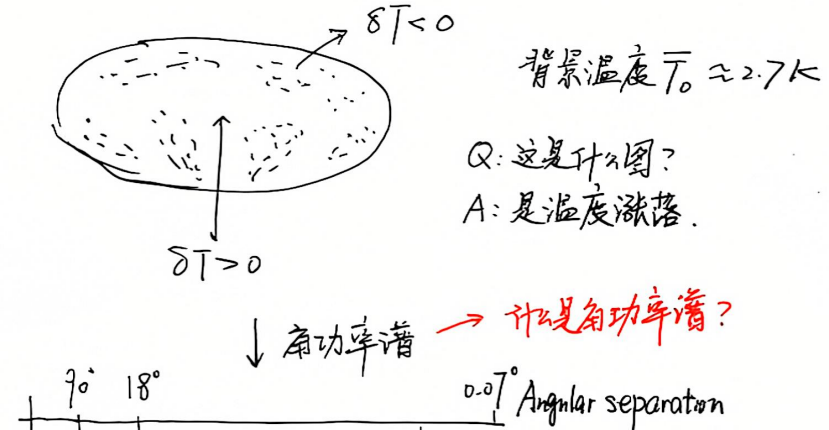


- Q1: CMB 蕴含什么时期的什么信息，如何解读？
 Q2: 理论给出什么样的预言？和观测的吻合程度如何？

Fig 7.1



Power

本章目标：理解CMB的各向异性、角功率谱，找到各向异性背后的物理。

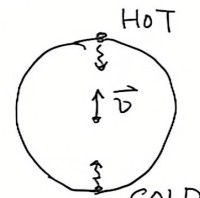
Solar system's motion \rightarrow Doppler shift

$$\text{Prob 7.1 : } \frac{\delta T(\hat{n})}{T} = \hat{n} \cdot \vec{v} = v \cos \theta$$

$v \ll c$

相同的辐射：蓝移， $\delta T > 0$

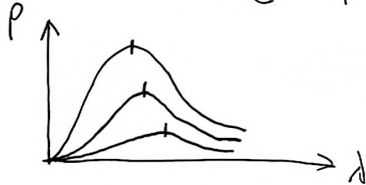
反向的辐射：红移， $\delta T < 0$



以此推断太阳系的运动速度 $v \approx 368\text{ km/s}$

Q: 温度如何引入的？

$$A: \text{黑体辐射 } P(\nu) \propto \frac{\omega^3}{e^{\beta \frac{\omega}{kT}} - 1}$$



$$\lambda_m T = \text{const} \quad (\text{维恩位移})$$

消去Doppler effect后，温度的涨落为 Fig 7.1. 来源有早期宇宙的涨落。我们要研究该温度的涨落是随机还是有关联。

Q: 当今宇宙的引力红移要不要消去？

A: 这不是各向异性的。

7.1.1 Angular Power Spectrum

$$\begin{aligned} \vec{v} \cdot \hat{n} &\rightarrow \text{average} \\ T(\hat{n}) &= T_0 + \delta T(\hat{n}) \\ &= T_0 (1 + \Theta(\hat{n})) \\ \Theta(\hat{n}) &:= \frac{\delta T}{T_0} \end{aligned}$$

两点关联函数:

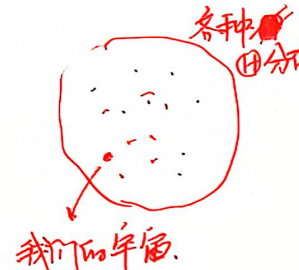
$$\delta T(\hat{n})$$

$$C(\theta) = \langle \Theta(\hat{n}) \Theta(\hat{n}') \rangle$$



$\langle \cdot \rangle$: Average over an ensemble

$$\langle \Theta(\hat{n}) \Theta(\hat{n}') \rangle = \int D\Theta P(\Theta) \Theta(\hat{n}) \Theta^*(\hat{n}')$$

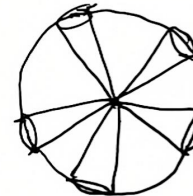


所有可能的分布

Q: 宇宙只是系综中的一种, 怎么算关联函数

A: Estimate the ensemble average by dividing the sky into different patches.

$$\langle \Theta(\hat{n}) \Theta(\hat{n}') \rangle = \frac{\sum \Theta(\hat{n}) \Theta^*(\hat{n}')}{\# \text{ of patches}}$$



大角度分出来就少
小角度分出来就多.

$\Theta(\hat{n})$ 是角度 (θ, ψ) 的函数 可用 $\{Y_{lm}\}$ 展开

$$\Theta(\hat{n}) = \sum_{l=2}^{\infty} \sum_{m=-l}^{l} a_{lm} Y_{lm}(\hat{n})$$

为什么不从 $l=1$ 开始?

给定一种分布 $\Theta \rightarrow \{a_{lm}\}$

$$C(\theta) = \sum_{lm} \sum_{l'm'} Y_{lm}(\hat{n}) Y_{l'm'}^*(\hat{n}') \langle a_{lm} a_{l'm'} \rangle$$

$$a_{lm} = \int d\Omega d\psi \Theta(\hat{n}) Y_{lm}^*$$

就暗含了对 different patches 的平均.

$a_{lm} a_{l'm'}$

$$\text{Define: } \langle a_{lm} a_{l'm'} \rangle = \frac{C_l \delta_{ll'} \delta_{mm'}}{2l+1}$$

角功率谱

a consequence of statistical isotropy

代入有

$$\begin{aligned} C(\theta) &= \sum_{lm} C_l Y_{lm}(\hat{n}) Y_{lm}^*(\hat{n}') \\ \text{关联函数} &= \sum_l \frac{2l+1}{4\pi} C_l P_l(\cos\theta) \end{aligned}$$

角功率谱

C_l 和 $C(\theta)$ 所包含的信息是一样的

利用 P_l 的正交归一化.

$$C_l = 2\pi \int_{-1}^1 d(\cos\theta) C(\theta) P_l(\cos\theta)$$

- Cosmic variance

若 $\hat{n} = \hat{n}' \rightarrow \theta = 0 \rightarrow C(\theta) = \langle |\Theta(\hat{n})|^2 \rangle$ 是方差

$$\text{Variance} = C(0) = \sum_l \frac{2l+1}{4\pi} C_l$$

$$\approx \int d(l+l') \frac{(2l+1)l}{4\pi} C_l$$

$$\approx \int d(l+l') \frac{l(l+1)}{2\pi} C_l$$

每个对数间隔下, 定义

$$\Delta_T^2 = \frac{l(l+1)}{2\pi} C_l T_0^2$$

用 CMB 的图库
用这个.

Cosmic variance: 给定一个 $l \rightarrow 2l+1$ 个 a_{lm} . 根据

$C_l = \langle a_{lm} a_{l'm'} \rangle$, 这允许给出 $2l+1$ 个 C_l 的估计值.

estimator

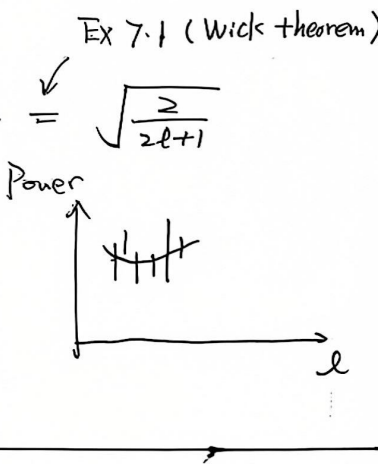
$$\hat{C}_\ell = \frac{1}{2\ell+1} \sum_m |\alpha_{em}|^2$$

无偏.

虽然是无偏估计, 但有 variance

$$\frac{\Delta C_\ell}{C_\ell} = \frac{\sqrt{\langle (C_\ell - \hat{C}_\ell)^2 \rangle}}{C_\ell} = \sqrt{\frac{2}{2\ell+1}}$$

对于较小的 ℓ , $\frac{\Delta C_\ell}{C_\ell}$ 较大. 见 Fig 7.2



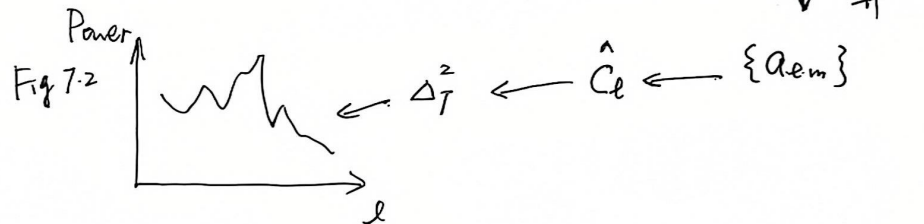
~~7.1.2 A road map~~

Fig 7.1



$$\rightarrow \delta T(\hat{n}) \Leftrightarrow \Theta(\hat{n})$$

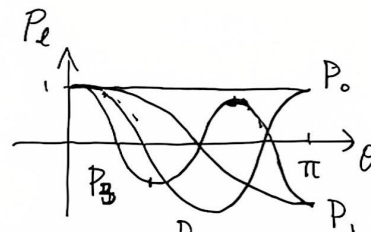
↓ 用 Y_m 展开



回答: ~~为什么~~ low multipole \leftrightarrow large angular scales?

$$\Delta_l^2(\ell) \propto C_\ell = 2\pi \int_{-1}^1 d(\cos\theta) C(\theta) P_\ell(\cos\theta)$$

关联函数.



P_l 可以提取 $C(\theta)$ 中部分角度的关联程度的信息. ℓ 很大时, P_l 抑制地很厉害 $\Rightarrow C_\ell \rightarrow 0$

如果某个 ℓ 对应的 power Δ_l^2 很大 $\rightarrow C_\ell$ 很大. (3)

那么 $C(\theta) = \sum_l \frac{2\ell+1}{4\pi} C_\ell P_\ell(\cos\theta)$ 在 P_ℓ 的极值点处的值就很大.

可见 功率谱 $\Delta_l^2(\ell)$ 在某些 ℓ 的行为反映了 $C(\theta)$ 在对应的角度的行为.

7.1.2 A road map

CMB 温度涨落背后的物理

$$\Delta_R^2(k) = \frac{k^3}{2\pi^2} P_R(k) \rightarrow C_\ell = 4\pi \int d(\ln k) \Theta_\ell^2(k) \Delta_R^2(k)$$

其中 $\Theta_\ell(k)$ 称为转换函数

$$\Theta_\ell: \Delta_R^2(k) \xrightarrow{\text{maps to}} C_\ell$$

C_ℓ 的背后是原初曲率扰动.

- Θ_ℓ captures
- ① the evolution of the fluctuations in the primordial plasma
 - ② the free streaming of the photons after decoupling
 - ③ the projection of the anisotropies onto the sky.

由于原初功率谱 $P_R(k)$ 没有什么特征, 故转换函数 Θ_ℓ 导致了 CMB 中所有非平凡的结构.

$$R(o, \vec{k}) \xrightarrow[\text{(7.4)}]{\text{evolution}} \begin{pmatrix} \delta_x \\ \vdots \\ \delta_b \end{pmatrix} \xrightarrow[\text{(7.3)}]{\text{free streaming}} \delta T(\hat{n})$$

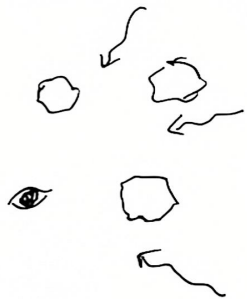
\rightarrow 解耦的时间

§ 7.2: τ 时刻超曲面上的扰动 $\xrightarrow{\text{free streaming}} \text{observed } \delta T$

§ 7.3: 空间的不均匀 \rightarrow 观测到的角度的涨落 (spatial \rightarrow angular)

§ 7.3-7.5: 初始的曲率扰动 $R \rightarrow$ τ 时刻超曲面上的扰动

§7.2 Photons in a clumpy universe



"Photons travel through the inhomogeneous universe. They gain or lose energy."

光在不均匀的宇宙传播 → 各向异的红/蓝移
温度的各向异性

§7.2.1 Gravitational Redshift

$$\frac{dP^{\mu}}{d\lambda} = -\Gamma_{\nu\rho}^{\mu} P^{\nu} P^{\rho} \quad (P^{\mu} = \frac{dx^{\mu}}{d\lambda})$$

Newtonian gauge ↓

$$ds^2 = a^2(\eta) [-(1+2\zeta)\eta^2 + (1-2\zeta)\delta_{ij} dx^i dx^j]$$

测地线 $\mu=0$ 的分量:

$$P^{\mu} \leftarrow \underbrace{\frac{d\eta}{d\lambda}} \frac{dP^{\mu}}{d\eta} = -\Gamma_{\nu\rho}^{\mu} P^{\nu} P^{\rho}$$

$$\Rightarrow \frac{dP^{\mu}}{d\eta} = -(\mathcal{H} + \zeta') P^{\mu} - 2(\partial_i \zeta) P^i - [\mathcal{H} - \zeta' - 2\mathcal{H}(\zeta + \zeta')] \delta_{ij} \frac{P^i P^j}{P_0}$$

* 观测时, 观者在局部惯性系 $\{\tilde{x}^{\mu}\}$ 下, $\tilde{P}^{\mu} = (E, \tilde{P}^i)$

$$\tilde{g}_{\mu\nu} \tilde{P}^{\mu} \tilde{P}^{\nu} = g_{\mu\nu} P^{\mu} P^{\nu}$$

$$\Rightarrow -E^2 + \delta_{ij} \tilde{P}^i \tilde{P}^j = g_{\mu\nu} (P^{\mu})^2 + g_{ij} P^i P^j$$

两个标架的时轴
方向相同 $\Rightarrow \begin{cases} E = \sqrt{-g_{\mu\nu}} P^{\mu} \\ P^2 = \delta_{ii} \tilde{P}^i \tilde{P}^i = g_{ii} P^i P^i \end{cases}$

那

$$P^0 = \frac{E}{\sqrt{-g_{00}}} = \frac{E}{\sqrt{a^2(1+2\zeta)}} \approx \frac{E}{a} (1-\zeta)$$

$$P^i = \frac{\tilde{P}^i}{\sqrt{-g_{ii}}} = \frac{E \tilde{P}^i}{\sqrt{a^2(1-2\zeta)}} \approx \frac{E}{a} (1-\zeta) \tilde{P}^i$$

空间轴的指
向各相同.
都

类光条件

P^i 的单
位向量,
由于时空的分解一样,
 \tilde{P}^i 和 P^i 的方向
向量是一样的.

将这两个式子代入 $\mu=0$ 的 geodesic eq.

$$\frac{1}{E} \frac{dE}{d\eta} = -\mathcal{H} + \zeta' - \tilde{P}^i \partial_i \zeta \quad (\text{保留至 } \mathcal{H})$$

解读各项含义:

① $-\mathcal{H}$ term: 宇宙膨胀带来的红移.

$$\frac{E'}{E} = -\frac{\alpha'}{\alpha} \Rightarrow E \propto \alpha^{-1}$$

② ζ' term: 抓住了空间上的扰动带来的尺度变换

$$a^2 \delta_{ij} \rightarrow a^2 (1-2\zeta) \delta_{ij}$$

$$\approx a^2 (1-\zeta)^2 \delta_{ij} \\ \equiv \tilde{a}^2 \delta_{ij}, \text{ 其中 } \tilde{a} := a(1-\zeta)$$

$$\frac{\tilde{a}'}{\tilde{a}} = \frac{\alpha' - \alpha \zeta' - \alpha' \zeta}{\alpha(1-\zeta)}$$

$$= \mathcal{H} - \zeta' + O(\zeta^2)$$

那么 ζ' term 带来一个宇宙膨胀红移的修正

$$\frac{E'}{E} = -\frac{\tilde{a}'}{\tilde{a}} \Rightarrow E \propto \tilde{a}^{-1} \quad (\text{扰动存在时的修正})$$

③ $\partial_i \zeta$ term

引力红/蓝移. (ζ 的牛顿势地位)

$$\begin{aligned} \text{设 } \hat{P}_i \partial_i \Psi &= \frac{d\chi^i}{d\eta} \partial_i \Psi \\ &= \frac{d\Psi}{d\eta} - \partial_i \Psi \\ &= \frac{d\Psi}{d\eta} - \Psi' \end{aligned}$$

$$\Rightarrow \frac{E'}{E} + \frac{\alpha'}{\alpha} = \Psi' + \Psi - \frac{d\Psi}{d\eta}$$

$$\Rightarrow \frac{d}{d\eta} (\ln(\alpha E)) = - \frac{d\Psi}{d\eta} + \Psi' + \Psi'$$

该方程告诉我们，在不均匀的宇宙中，光子的能量的演化有了超出宇宙膨胀带来的红移以外的效应。

7.2.2 Line-of-sight solution (视线)

对(7.23)

$$\frac{d}{d\eta} (\ln(\alpha E)) = - \frac{d\Psi}{d\eta} + \Psi' + \Psi'$$

积分，可以知道今天的接收到的光子能量与光子退耦时的能量之间的关系。

$$\ln(\alpha E)|_0 = \ln(\alpha E)|_* - (\Psi_0 - \Psi_*) + \int_{\eta_*}^{\eta_0} d\eta (\Psi' + \Psi')$$

解耦后，光子气自由穿行，保持 E-B 分布，故 $T \propto E$ 。那么，扰动带来的能量 ~~不均匀~~ → 温度上的各向异性
各向异性

$$\alpha T(1 + \frac{\delta T}{T}) \propto \alpha E$$

$$\begin{aligned} \ln(1+x) \sim x \\ \Rightarrow \frac{\delta T}{T}|_0 &= \frac{\delta T}{T}|_* + \Psi_* + \int_{\eta_*}^{\eta_0} d\eta (\Psi' + \Psi') \end{aligned}$$

7.2.3 Fluctuations at last scattering

(7.27) 式：

$$\frac{\delta T}{T_{\text{now}}}|_0 = \frac{\delta T}{T_{\text{now}}}|_* + \Psi_* + \int_{\eta_*}^{\eta_0} d\eta (\Psi' + \Psi')$$

今天的温度涨落 $\frac{\delta T}{T}|_0$ ，依赖于脱耦时的温度涨落 $\frac{\delta T}{T}|_*$ 。

$\delta T|_*$ 的来源有 { 光子密度涨落 δ_r (1)

{ 电子的 bulk velocity 贡献 δ_v (2)

$$(1): P_r \propto T^4 \Rightarrow \frac{\delta T}{T} \Rightarrow \frac{1}{4} \delta_r$$

$$(2): \frac{\delta T}{T} \supset \hat{P} \cdot \vec{v}_e = -\hat{n} \cdot \vec{v}_b$$

当时电子和重子束缚，故 $\vec{v}_b = \vec{v}_e$

那么，
 $\downarrow \hat{P}$

$$(\frac{\delta T}{T})_* = (\frac{1}{4} \delta_r - \hat{n} \cdot \vec{v}_b)_*$$

$$\Rightarrow \frac{\delta T}{T}|_0(\hat{n}) = \underbrace{(\frac{1}{4} \delta_r + \Psi)}_{\text{SW}} - \underbrace{(\hat{n} \cdot \vec{v}_b)}_{\text{Doppler}} + \underbrace{\int_{\eta_*}^{\eta_0} d\eta (\Psi' + \Psi')}_{\text{ISW}}$$

传播途中积累的
效应 ↓

光子涨落 动力红移 ↓

↓

(integrated SW)

- SW：含两项。 δ_r 是光子涨落的影响， Ψ 是动力红移效应
- Doppler：由于重子的速度在超视距上趋于0，故在大角度上该项并不主导。此外，Doppler 项的振荡与 SW 项的振荡不同相，故 Doppler 项的加入会降低谱中峰和谷的对比度。
- ISW：沿传播路径上引力红移的积累效应。非零的 ISW 效应需要带 Ψ 、 Ψ' 依赖时间。这个效应主要集中于较早的时候。ISW 的加入会使峰更高。

§7.3 Anisotropies from Inhomogeneities

本节目标：描述不均匀性如何带来不同方向上温度的关联。

7.3.1 Spatial-to-Angular Projection

前面的章节说过，原初扰动最好在 Fourier space 中研究，各个模式是独立演化的。

暂时忽略 ISW term. 记 $\vec{x}_* = \eta_* \vec{k}$, $\vec{v}_b = i\vec{k} v_b$

$$\textcircled{4}(\hat{n}) = \frac{\delta T}{T}(\hat{n})$$

$$= \int \frac{d^3 k}{(2\pi)^3} e^{i\vec{k} \cdot (\vec{x}_* \hat{n})} [F(\eta_*, \vec{k}) - i(\vec{k} \cdot \hat{n}) G(\eta_*, \vec{k})]$$

$\downarrow \delta_r + \text{平}$ $\downarrow \tilde{v}_b$

傅立叶变换后的：

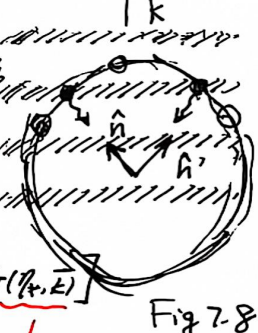


Fig 7.8

§6.2.1 中讨论过初始条件， δ_i , η_* , \vec{v}_b , \vec{R} 等都是或地倒的，且它们随时间的演化都是线性的。那么可以把对 \vec{k} 的依赖放在 $R_i(\vec{k})$ 上。而定义 $F_*(k) = F(\eta_*, \vec{k}) / R_i(\vec{k})$, $G_*(k) = G(\eta_*, \vec{k}) / R_i(\vec{k})$

则

$$\textcircled{4}(\hat{n}) = \int \frac{d^3 k}{(2\pi)^3} e^{i\vec{k} \cdot (\vec{x}_* \hat{n})} [F_*(k) - i(\vec{k} \cdot \hat{n}) G_*(k)] R_i(\vec{k})$$

平面波用球面波展开

$$e^{i\vec{k} \cdot (\vec{x}_* \hat{n})} = \sum_{\ell} i^{\ell} (2\ell+1) j_{\ell}(k \chi_*) P_{\ell}(\vec{k} \cdot \hat{n})$$

↓ 球贝塞尔

另外

$$i(\vec{k} \cdot \hat{n}) e^{i\vec{k} \cdot (\vec{x}_* \hat{n})} = \frac{d}{d(k \chi_*)} e^{i\cdots} = \sum_{\ell} i^{\ell} (2\ell+1) j_{\ell}'(k \chi_*) P_{\ell}(\vec{k} \cdot \hat{n})$$

代入有

$$\textcircled{4}(\hat{n}) = \sum_{\ell} i^{\ell} (2\ell+1) \int \frac{d^3 k}{(2\pi)^3} \textcircled{4}_e(k) R_i(\vec{k}) P_{\ell}(\vec{k} \cdot \hat{n})$$

$$\textcircled{4}_e(k) := F_*(k) j_{\ell}(k \chi_*) - G_*(k) j_{\ell}'(k \chi_*)$$

将 $\textcircled{4}(\hat{n})$ 代入两点关联函数，并利用

$$\langle R_i(\vec{k}) R_i(\vec{k}') \rangle = \frac{2\pi^2}{k^3} \Delta_R^2(k) (2\pi)^3 \delta_D(\vec{k} + \vec{k}')$$

$$P_{\ell}(-\vec{k} \cdot \hat{n}) = (-1)^{\ell} P_{\ell}(\vec{k} \cdot \hat{n})$$

$$\int d\vec{k} P_{\ell}(\vec{k} \cdot \hat{n}) P_{\ell'}(\vec{k} \cdot \hat{n}') = \frac{4\pi}{2\ell+1} P_{\ell}(\hat{n} \cdot \hat{n}') \delta_{\ell\ell'}$$

有

$$\text{两点关联函数 } \langle \textcircled{4}(\hat{n}) \textcircled{4}(\hat{n}') \rangle = \sum_{\ell} \frac{2\ell+1}{4\pi} [4\pi \int d\ln k \textcircled{4}_e^2(k) \Delta_R^2(k)] \frac{P_{\ell}(\hat{n} \cdot \hat{n}')}{P_{\ell}(\hat{n} \cdot \hat{n})}$$

与 (7.5): $C(\theta) = \langle \dots \rangle = \sum_{\ell} \frac{2\ell+1}{4\pi} C_{\ell} \cos(\ell\theta)$ 比较，有

$$C_{\ell} = 4\pi \int d\ln k [\textcircled{4}_e^2(k) \Delta_R^2(k)] \quad \xrightarrow{\text{转移函数}}$$

\downarrow CMB 温度涨落的功率谱.

\downarrow 原初曲率扰动的功率谱

转移函数 $\textcircled{4}_e$ 即包含了原初扰动到解耦前的演化，又包含了最后的散射壁面投影这些信息，从而反映各向异性。

若加上 ISW term.

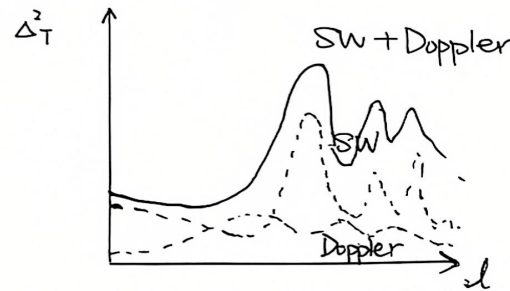
$$\textcircled{4}_e(k) = F_*(k) j_{\ell}(k \chi_*) - G_*(k) j_{\ell}'(k \chi_*) + \int_{\eta_*}^{\eta_0} d\eta (\text{平} + \text{平}') j_{\ell}(k \chi)$$

其中 $\chi(\eta) = \eta_0 - \eta$.

若把这代入 $C_{\ell} = \dots \int \dots \textcircled{4}_e^2 \dots$, 会有 6 项，分别是 SW 的功率谱 C_{ℓ}^{sw} , Doppler 项 C_{ℓ}^D , ISW 项 C_{ℓ}^{ISW} , 及 3 个交叉项（很小）。

7.3.2 Large scales: SW effect (大 ℓ , 小 ℓ)

Fig 7.7



ℓ 较小的 CMB 温度由超视界的涨落带来，在 Fig 7.7 中可以发现主要源于 SW term.

$$\text{绝热初始条件 + 物质主导} \Rightarrow -2\pm \approx -2\mp \approx \delta = \delta_m = \frac{3}{4}\delta_\gamma$$

$$\Rightarrow \textcircled{H}(A) \approx (\frac{1}{4}\delta_\gamma + \pm)_* = \frac{1}{3}\pm_* = \frac{1}{5}R; \quad (16.155)$$

引力扰动产生超出了温度固有的
涨落，意味着 $\delta_\gamma > 0$ 的地方 $\delta T < 0$.
(overdensity) (cold spot)

large scale 上，

$$\textcircled{H}_\ell^{\text{sw}} = \frac{1}{r} j_\ell(k\chi_*)$$

$$\Rightarrow C_\ell^{\text{sw}} = \frac{4\pi}{25} \int_0^\infty dk k \Delta_R^2(k) j_\ell^2(k\chi_*)$$

若考虑 power law 形式 $\Delta_R^2(k) = A_s (\frac{k}{k_0})^{n_s-1}$ ，则积分分为

$$C_\ell^{\text{sw}} = \frac{4\pi}{25} A_s (k_0 \chi_*)^{1-n_s} \geq \frac{n_s-4}{\pi} \frac{\Gamma(3-n_s)}{\Gamma^2(4-\frac{n_s}{2})} \frac{\Gamma(\ell + \frac{n_s-1}{2})}{\Gamma(\ell+2 - \frac{n_s-1}{2})}$$

特别地， $n_s=1$ 时， $\Delta_R^2 = A_s$ 具有 scale-invariant (标度不变) ⑦

$$\Delta_R^2 = A_s \quad \frac{\ell(\ell+1)}{2\pi} C_\ell^{\text{sw}} = \frac{A_s}{25} \Rightarrow \Delta_T^2 \text{ sw} = \frac{A_s}{25} T_0^2$$

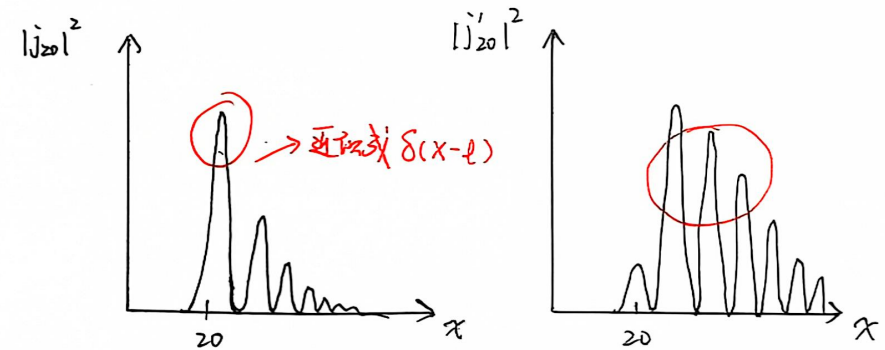
不依赖 ℓ

$$\Leftrightarrow k^3 P_R(k) = \text{const.}$$

7.3.3 Small scales: Sound waves

$\ell > 100$ 的 CMB 温度主要来源于小尺度的涨落。§ 7.4 节详细讨论。

大 ℓ 下 ℓ 的行为：Fig 7.9



$$\frac{\ell(\ell+1)}{2\pi} C_\ell^{\text{sw}} \sim F_*^2(k) \Delta_R^2(k) / k \approx \frac{\ell}{\chi_*}$$

$$\frac{\ell(\ell+1)}{2\pi} C_\ell^D \sim G_*^2(k) \Delta_R^2(k) / k \approx \frac{\ell}{\chi_*}$$

若采用标度不变的初始条件 $\Delta_R^2 = \text{const.}$ ，那么功率谱就依赖于转移函数 F_*^2 ， G_*^2 在 $k = \ell/\chi_*$ 附近的取值。原本在 k 上的振荡行为就转移到了 ℓ 上。

§7.4 Primordial Sound Waves

回顾

$$\frac{\delta T}{T} |_0 (\hat{n}) = \left(\frac{1}{4} \delta_r + \Psi \right)_* - (\hat{n} \cdot \vec{v}_b)_* + \underbrace{\int_{\eta_*}^{\eta_0} \dots}_{I8W}$$

Q: 那么 η_* 时刻的 δ_r , Ψ , \vec{v}_b 我们又该如何了解?

A: 要计算描述扰动的演化的转移函数 R_ℓ

$$R(0, \vec{k}) \xrightarrow{\text{transfer function}} \begin{pmatrix} \delta_r \\ \Psi \\ v_b \end{pmatrix}_{\eta_*}$$

等等, 在做复杂的计算前, 先对问题的几个尺度做一个定性的分析. 这会告诉我们各个特定的效应何时变得主要.

- Sound horizon (声学视界)

Sound waves can only propagate if $\lambda < \text{horizon}$.

sound horizon: $r_s(\eta) := \int_0^\eta d\tilde{\eta} c_s(\tilde{\eta})$

遇耦时,

$$r_{s,*} \approx 145 \text{ Mpc} \quad (\text{Problem 7.2})$$

因此, 只有 $\lambda < r_{s,*} \Leftrightarrow k r_{s,*} > 1$ 的模式是重要的.

又因为, $\ell \sim k \chi_*$, 且 $\chi_* \approx 14 \text{ Gpc}$

\Rightarrow Sound waves should affect the CMB spectrum for $\ell > 100$ (结合 Fig 7.7 验证)

- Damping scale
(阻尼)

小尺度上光子的扩散 \rightarrow 抹平温度差异
(阻尼效应)

建模: random walk (随机行走)

step size = mean free path

$$= l_m = \sqrt{\frac{1}{\alpha n e \sigma_T}}$$

时间间隔 $\Delta \eta$ 内, 碰撞次数

$$N = \frac{\Delta \eta}{l_m}$$

mean-squared distance

$$\langle \Delta r^2 \rangle = N l_m^2 = l_m \Delta \eta$$

积分, 有

$$r_D^2(\eta) = \int_0^\eta d\tilde{\eta} l_m(\tilde{\eta})$$

In problem 7.3,

$$r_{D,*} \approx 7 \text{ Mpc}$$

在 §7.4.4 中, 对于尺度也 diffusion length 小的涨落模式, 即 $k r_{D,*} > 1$ 的, 它们会有一个指数压低 $e^{-2(k r_{D,*})^2}$.

In harmonic space,

$$\ell_D \sim \frac{\chi_*}{k r_{D,*}} \sim 1400. \Rightarrow \text{CMB 中 } \ell > 1400 \text{ 会有} \\ -2 \text{ 指数压低 (Fig 7.7)}$$

7.4.1 Photon - Baryon Dynamics

卷

• Hydrodynamic equations

线性方程，Thomson 散射不交换能量，故连续性方程不变

$$\delta_r' = \frac{4}{3} k v_r + 4 \bar{\pi}'$$

$$\delta_b' = k v_b + 3 \bar{\pi}'$$

但动量要交换 \rightarrow 欧拉方程要修正

$$\text{光子: } v_r' + \frac{1}{4} k \delta_r - \frac{2}{3} k \bar{\pi}_r + k \bar{\pi} = -\Gamma (v_r - v_b)$$

drag term
(拖曳项)

momentum transfer \propto scattering rate Γ
(详细推导见 Appendix B) difference between v_r & v_b

结论：光子 - 重子之间的散射试图让光子与重子一同运动，即 $v_r \rightarrow v_b$ for large Γ .

重子的欧拉方程：

$$v_b' + 2\ell v_b + k \bar{\pi} = \frac{\Gamma}{R} (v_r - v_b) \quad (7.59)$$

$$\Rightarrow R = \frac{3}{4} \frac{\bar{P}_b}{\bar{P}_r}$$

- Tight-coupling limit : Γ is large

⑨

此时 $v_b \approx v_r$, 将其代入 (7.59)

$$v_r - v_b = \frac{R}{\Gamma} (v_b' + 2\ell v_b + k \bar{\pi})$$

$$\approx \frac{R}{\Gamma} (v_r' + 2\ell v_r + k \bar{\pi})$$

将其代入光子的修正的欧拉方程

$$v_r' + \frac{1}{4} k \delta_r - \frac{2}{3} k \bar{\pi}_r + k \bar{\pi} = -\Gamma (v_r - v_b)$$

\downarrow
光子各向异性应力，在 $\approx -R (v_r' + 2\ell v_r + k \bar{\pi})$
大 Γ 下会被抑制 (可丢掉)

$$\Rightarrow v_r' + \frac{R 2\ell}{1+R} v_r + \frac{1}{4(1+R)} k \delta_r + k \bar{\pi} = 0$$

与光子的连续性方程结合，将 $v_r \rightarrow \delta_r'$, 得到关于 δ_r' 的 2-order equation

$$\boxed{\delta_r'' + \frac{R'}{1+R} \delta_r' + k^2 c_s^2 \delta_r = -\frac{4}{3} k^2 \bar{\pi} + 4 \bar{\pi}'' + \frac{4R'}{1+R} \bar{\pi}'}$$

这里用了 $R 2\ell = R'$ (因为 $R \propto a$)，还引入了声速 $c_s^2 = [3(1+R)]^{-1}$

7.4.2 High-Frequency Solution

Master equation

$$\delta_r'' + \frac{R'}{1+R} \delta_r' + k^2 c_s^2 \delta_r = -\frac{4}{3} k^2 \bar{\pi} + 4 \bar{\pi}'' + \frac{4R'}{1+R} \bar{\pi}'$$

没有解析解 \rightarrow 考虑特殊的极限情况。

• 先考虑高频(短波)极限: $k \gg \lambda$

solution $f \equiv \{\delta_r, \pm, \bar{\pm}\}$

$$\text{Weinberg: } f = f^{\text{fast}} + f^{\text{slow}}$$

The fast modes evolve on a scale $k^{-1} \Rightarrow \partial_\eta f^{\text{fast}} \sim k f^{\text{fast}}$

The slow modes vary on the Hubble scale $\lambda^{-1} \downarrow$
 $\partial_\eta f^{\text{slow}} \approx \partial_\eta f^{\text{slow}}$

fast modes of $\bar{\pm}$ is sourced by radiation. From the modified Poisson equation, we have

$$-k^2 \bar{\pm}^{\text{fast}} = 4\pi G a^2 \bar{\rho}_r \delta_r^{\text{fast}} \approx H^2 \delta_r^{\text{fast}}$$

那么,

$$\bar{\pm}^{\text{fast}} \propto \frac{H^2}{k^2} \quad \text{在高频极限 } k \gg \lambda \text{ 下,}$$

$\bar{\pm}^{\text{fast}} \ll 1$

因此, fast mode下, δ_r 满足齐次方程

$$\delta_r'' + \frac{R'}{1+R} \delta_r' + k^2 c_s^2 \delta_r = 0 \quad (\text{fast mode})$$

WKB近似

$$\text{ansatz } \delta_r = A(\eta) \exp(\pm i k \int_0^\eta c_s(\hat{\eta}) d\hat{\eta})$$

$$= A(\eta) e^{\pm i \varphi(\eta)}$$

\rightarrow 在振荡的周期上, A 缓变.

过程略.

$$A(\eta) \propto (1+R)^{-\frac{1}{4}}$$

$$\Rightarrow \delta_r^{\text{fast}} = (1+R)^{-\frac{1}{4}} (C \cos \varphi + D \sin \varphi)$$

• 考虑低频: 去掉 master equation 中所有时间导数项, 则

$$\delta_r^{\text{slow}} = -4(1+R) \bar{\pm}^{\text{slow}}$$

• The full WKB solution (直接相加)

$$\delta_r = (1+R)^{-\frac{1}{4}} [C \cos \varphi + D \sin \varphi] - 4(1+R) \bar{\pm}^{\text{slow}}$$

引力项会 shift
振荡的零点.

S-W term 的转移函数

$$F_*(k) \equiv \frac{\frac{1}{4} \tilde{\delta}_r(\eta_*, \vec{k}) + \tilde{\bar{\pm}}(\eta_*, \vec{k})}{R_i(\vec{k})}$$

$$= \frac{1}{4}(1+R)^{-\frac{1}{4}} \frac{\tilde{C}(\vec{k}) \cos \varphi_* + \tilde{D}(\vec{k}) \sin \varphi_*}{R_i(\vec{k})}$$

$$- R \frac{\tilde{\bar{\pm}}(\eta_*, \vec{k})}{R_i(\vec{k})} \quad (\text{其中 } \varphi_* = k r_{s,*})$$

§7.3.3 中, angular power spectrum $\sim |F_*(k)|^2 / k \approx \eta_{\chi_*}^2$

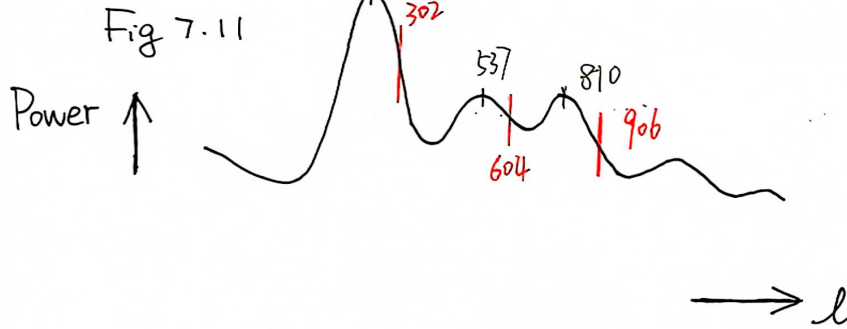
\Rightarrow peaks of the spectrum: $\ell_h = n \pi \frac{\eta_*}{r_{s,*}} \approx n \pi \frac{14 \text{ Gpc}}{145 \text{ Mpc}} \approx n \times 302$

$$\ln \approx n \times 302 \rightarrow l_1 \approx 302$$

$$l_2 \approx 604$$

$$l_3 \approx 906$$

然而, $l_1 = 220.0 \pm 0.5$, $l_2 = 537.5 \pm 0.7$, $l_3 = 810 \pm 0.7$



虽然预测峰的位置不准,但间隔预测挺准.差不多每个峰的误差都为周期的 $\frac{1}{4}$.

要得到准确的峰位,需要 ①更精确的解

②处理 spatial-to-angular
时更仔细些.

§ 7.4.3 Semi-Analytic Solution

• Long-wavelength solution

$k < k_{eq}$ 时, 在物质时期

$$\delta_r = \frac{4}{3} \delta_c = -\frac{8}{3} \Psi \quad (k < \lambda < k_{eq})$$

若用 R_i 表示,

$$\Psi \approx \Psi = \frac{3}{5} R_i, \quad \delta_r = -\frac{8}{5} R_i \quad (k < \lambda < k_{eq})$$

起初, 重子的效果可以忽略, master equation

$$\delta_r'' + \frac{1}{3} k^2 \delta_r = -\frac{4}{3} k^2 \Psi$$

$$\Rightarrow \delta_r = C \cos \varphi + D \sin \varphi - \frac{4}{3} \Psi$$

$\varphi = \frac{k}{R_i}$

match $k < \lambda$ 的

$$\Rightarrow \delta_r = \frac{4}{5} R_i (\cos \varphi - 3) \quad (\text{并 match 初始条件})$$

后来, 重子效应不可忽略, R 应纳入考虑.

$$\boxed{\delta_r = \frac{4}{5} R_i \left[(1+R)^{-\frac{1}{4}} \cos \varphi - 3(1+R) \right]} \quad (k < k_{eq})$$

$\varphi = k \int d\eta \frac{1}{\sqrt{3(1+R)}}$

• Short-wavelength solution

$$\delta_r = \frac{4}{5} R_i \left[5(1+R)^{-\frac{1}{4}} \cos \varphi - 3(1+R) \frac{\ln(0.15 \frac{k}{k_{eq}})}{(0.31 \frac{k}{k_{eq}})^2} \right] \quad (k > k_{eq})$$

• Solution at last-scattering

$$F_*(k) \equiv \frac{(\frac{1}{4} \delta_r + \Psi)_*}{R_*}$$

$$= \begin{cases} \frac{1}{5} \left[\frac{1}{(1+R_*)^{1/4}} \cos(kr_{s,*}) - 3R_* \right] & k < k_{eq} \\ \frac{1}{5} \left[\frac{5}{(1+R_*)^{1/4}} \cos(kr_{s,*}) - 3R_* \frac{\ln(0.15 \frac{k}{k_{eq}})}{(0.31 \frac{k}{k_{eq}})^2} \right] & k > k_{eq} \end{cases}$$

(11)

先求
极限
情况

(并 match 初始
条件)

再 match
WKB 解.

在 $k \sim k_{eq}$ 时，找一个插值函数。

Weinberg's ~~ansatz~~ ansatz

$$F_*(k) = \frac{1}{5} \left[-\frac{S(k)}{(1+R_*)^{1/4}} \cos[kr_{s,*} + \theta(k)] - 3R_* T(k) \right]$$

limit:

$$k \ll k_{eq} : S \rightarrow 1, T \rightarrow 1, \theta \rightarrow 0$$

$$k \gg k_{eq} : S \rightarrow 5, T \rightarrow \frac{\ln(k)}{k^2}, \theta \rightarrow 0$$

$$\exists \lambda x = \sqrt{k/k_{eq}}$$

$$\begin{cases} S(k) = \dots \\ T(k) = \dots \\ \theta(k) = \dots \end{cases} \quad (7.116)$$

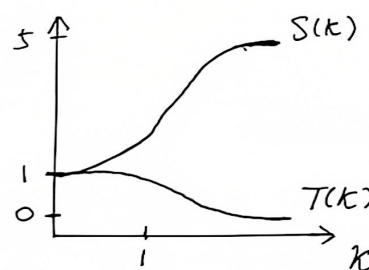


Fig 7.13 3个插值函数

$\theta(k)$ 带来 CMB 峰位的 shift。Weinberg 说现在的解与观测的吻合程度 "almost embarrassingly good"。实际上，吻合的程度相当好（在振荡部分）

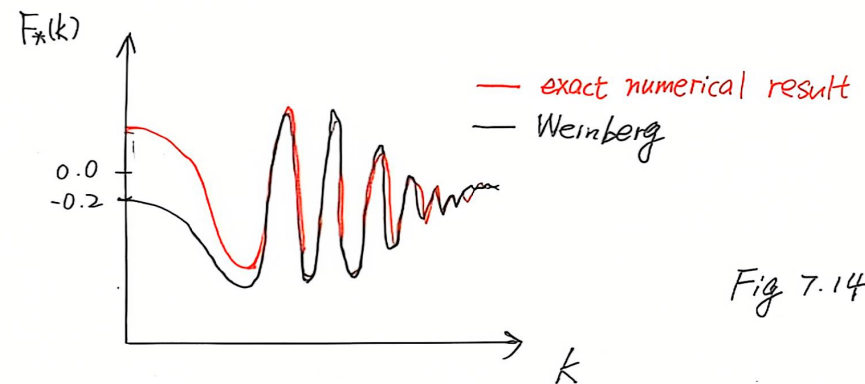


Fig 7.14

解出 S_T 后，利用在物质时期 $\delta_T' = \frac{4}{3} k v_T$ ，有

$$G_*(k) = -\frac{\sqrt{3}}{5} \frac{S(k)}{(1+R_*)^{1/4}} \sin[kr_{s,*} + \theta(k)]$$

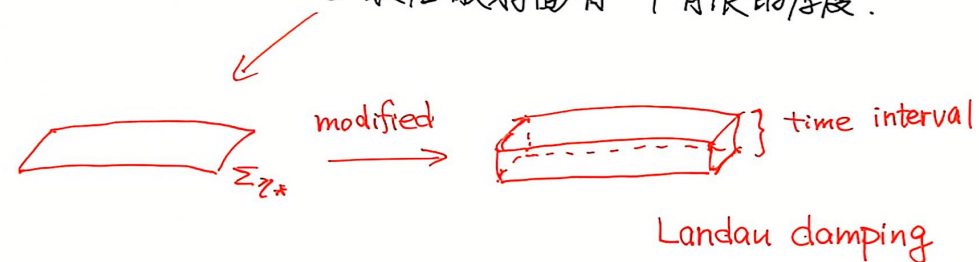
Doppler term's
transfer function

$F_*(k)$ 中是 \cos ，由此可
见 Doppler term 与 SW term
的振荡不同相。

§7.4.4 Small-Scale Damping (大尺度的阻尼)

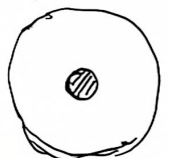
CMB 的图中，在 $\ell > 1000$ 区域，功率有压低的行为，还未进行解释和讨论。

Damping 的源头：① 光子的扩散抹除、小尺度温度差异
② 最后散射面有一个有限的厚度。



① Silk damping

\mathcal{H}^{-1} 光子扩散的影响是小尺度的，可以忽略宇宙膨胀的影响： $\mathcal{H}v_b \ll v_b'$ （忽略膨胀效应项）。此外，由于 $-k^2 \perp \sim \mathcal{H}^2 \delta \Rightarrow k \perp \ll k \delta_r$ 。



那么，Euler equations

$$\text{光子: } v_r' + \frac{1}{4} k \delta_r - \frac{2}{3} k \pi_r + k \perp = -\Gamma (v_r - v_b)$$

$$\text{重子: } R(v_b' + 2v_r' + k \perp) = \Gamma (v_r - v_b)$$

$$\Rightarrow v_r' + \frac{1}{4} k \delta_r - \frac{2}{3} k \pi_r = -\Gamma (v_{r-b}) \quad (1)$$

$$R v_b' = +\Gamma v_{r-b} \quad (2)$$

之前的讨论建立在 Γ is large $\rightarrow v_r \approx v_b$ 下，相当于只讨论了一个领头阶效应。现在我们考虑次领头阶修正，这会带来阻尼效应。

$$(1) - \frac{(2)}{R} :$$

$$v_{r-b}' = -\left(\frac{1+R}{R}\right) \Gamma v_{r-b} - \frac{1}{4} k \delta_r + \frac{2}{3} k \pi_r$$

强耦合 (Γ 很大) 下，去掉 π_r term，去掉 v_{r-b}' term

$$(7.121) \quad v_{r-b} \approx -\frac{R}{HR} \frac{k}{\Gamma} \frac{\delta_r}{4} \text{ (之前是 } \approx 0 \text{) (变化很慢)}$$

物理：

$$\rho_r \propto T_r^4 \rightarrow \text{RHS of (7.121)} = -\lambda_s \frac{\nabla T_r}{T_r}$$

↑
自由程

因此 v_{r-b} 非零与热传导 (thermal conduction) 相关。

(1) + (2)，有

$$R v_b' + v_r' + \frac{1}{4} k \delta_r - \frac{2}{3} k \pi_r = 0$$

↓ 利用 (7.121)，消
 $v_b' = v_r' + \frac{R}{HR} \frac{k}{\Gamma} \frac{\delta_r}{4}$

$$(1+R) \boxed{v_r'} = -\frac{1}{4} k \delta_r - \frac{R^2}{4(1+R)} \frac{k}{\Gamma} \delta_r + \frac{2}{3} k \pi_r$$

$$\begin{aligned} \text{附录B: 光子的各向异性应力 } \pi_r &\approx -\frac{4}{9} \frac{k}{\Gamma} v_r \\ &= -\frac{1}{3} \frac{\delta_r'}{\Gamma} \end{aligned} \quad \text{连续性方程}$$

连续性方程 (sub-Hubble scale)

$$\delta_r' = \frac{4}{3} k v_r \Rightarrow \boxed{v_r'} = \frac{3}{4k} \delta_r''$$

那么

$$\delta_r'' + \frac{k^2}{3(1+R)} \Gamma^{-1} \left(\frac{8}{9} + \frac{R^2}{1+R} \right) \delta_r' + k^2 c_s^2 \delta_r = 0$$

$\downarrow \propto \Gamma^{-1}$ 高阶修正引入了摩擦
friction term.

用WKB近似求解.

考虑

$$\delta_r \propto \exp(i \int_0^{\eta} \omega(\vec{\eta}) d\vec{\eta}), \quad \text{with } \omega' \ll \omega^2$$

(频率缓变)

那么

$$\delta_r' = i\omega \delta_r$$

$$\delta_r'' = (-\omega^2 + i\omega') \delta_r \approx -\omega^2 \delta_r$$

↓ 然后

$$\delta_r \propto e^{-k^2/k_s^2} \exp(i k \int c_s(\vec{\eta}) d\vec{\eta})$$

Damping!

$$k_s^{-2}(\eta) = \int_0^{\eta} \dots \text{ (太长不写)}$$

$$\text{Weinberg's } S(k) \rightarrow e^{-k^2/k_{s,*}^2} S(k)$$

插值函数(前面提过)

$$\text{Standard cosmological parameter} \rightarrow k_{s,*}^{-1} \approx 7.2 \text{ Mpc}$$

$\zeta_s \sim 1370$ 处开始呈现
阻尼效应.

② Landau damping

recombination	$g(\eta)$	visibility function
瞬时		δ_{Dirac}
有一段时间		Gaussian

$$\Theta_e^{sr} = \int_0^{\eta} d\eta \ g(\eta) (\frac{1}{4} \delta_r + \dots) j_e(k\chi)$$

↓ Gaussian integral

$$e^{-c_0 * \sigma_g^2 / 2} = e^{-\frac{k^2}{k_{s,*}^2}} \text{ (也会带来一个指数压低)}$$

$$\text{Silk damping + Landau damping} \rightarrow k_{D,*}^{-1} = \sqrt{k_{s,*}^{-2} + k_{L,*}^{-2}}$$

$$k_D \sim \frac{k_{s,*} \chi_*}{\sqrt{\varepsilon}} \sim 1125$$